

Chapitre III

Evaporation et Combustion des gouttes

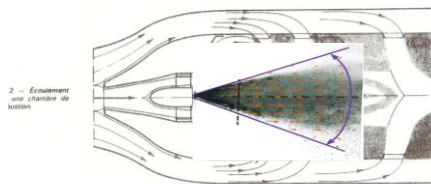
1

Position du problème

Dans de nombreux foyers, combustible est sous forme liquide.

Ceci en raison de son stockage et de son embarquement faciles.

Beaucoup d'applications {
 Turboréacteurs et turbines à combustible liquide
 Fusées à combustible liquide
 Brûleur, moteur Diesel



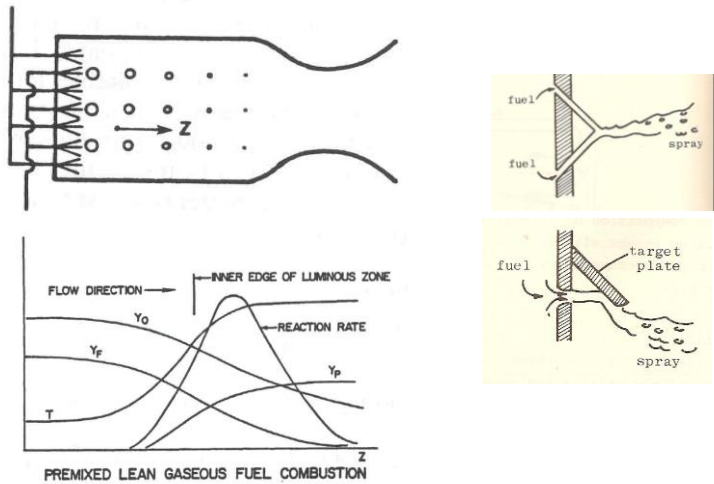
Injection du liquide sous forme de brouillard (spray) de gouttelettes les plus fines possibles (grande surface). Le liquide se vaporise et ses vapeurs se mélangent avec l'oxydant et la combustion s'effectue en phase gazeuse.

Phénomènes importants d'un point de vue pratique sur le plan théorique

2

Flamme de prémélange

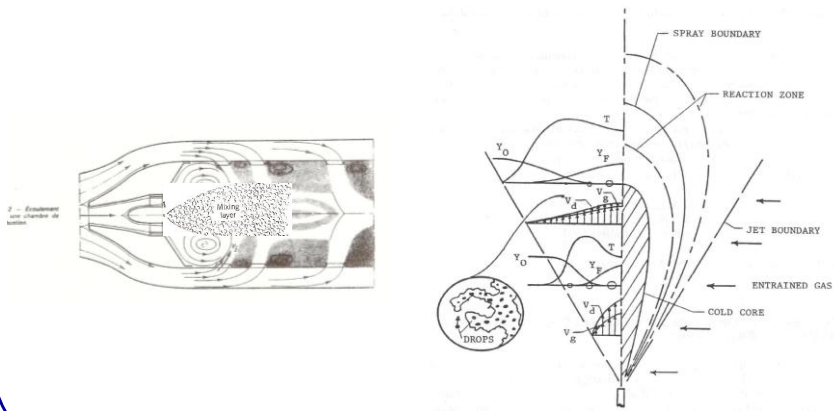
Fusées à combustible liquide avec beaucoup d'injecteurs de petits diamètres



3

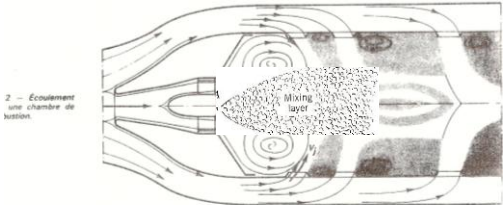
Flamme de diffusion

Turboréacteur avec des multi-injecteurs pour injection du combustible liquide

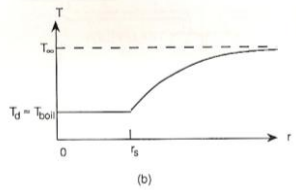
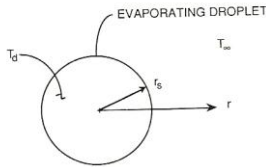


4

Solutions analytiques



On considère une goutte sphérique de combustible dans une atmosphère oxydante au repos et l'absence de pesanteur- Cas idéal donnant une solution analytique.

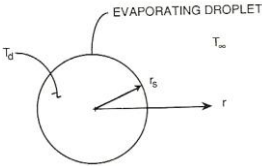


5

Modèle simplifié de l'évaporation d'une goutte isolée de combustible dans oxydant en l'absence de réactions chimiques

- 5 hypothèses
- 1) $T_s \approx T_e$ (ébullition)
 - 2) ρ (masse volumique)
 C_p (chaleur spécifique)
 α (diffusivité thermique)
 k (conductivité)
 D_{12} (diffusivité massique binaire)
 - 3) Phénomène stationnaire
 - 4) Combustible pur
 - 5) Le (nombre de Lewis)=1

cons tan tes



Bilan d'énergie d'une gouttelette qui s'évapore

- a) Phase gazeuse
- b) Surface de la gouttelette

Position du problème

- $\dot{m}(t)$ vitesse d'évaporation massique
- $r_s(t)$ ou $D(t)$ variation du rayon ou du diamètre
- t_d durée de la goutte

6

Analyse en phase gazeuse

1) Conservation de la masse

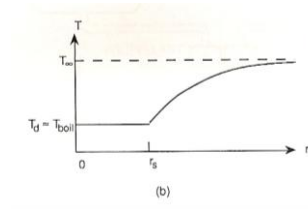
$$\begin{cases} \frac{d(\rho v_r r^2)}{dr} = 0 \\ \dot{m} = \dot{m}_F = 4\pi r^2 \rho v_r = \text{constante} \end{cases}$$

2) Conservation de l'énergie (1D sphérique, absence de réactions chimiques)

$$\frac{1}{r^2} \frac{d}{dr} \left[r^2 \left(\rho v_r \int C_{pg} dT - \rho D_{AB} \frac{d \int C_{pg} dT}{dr} \right) \right] = 0$$

$$\text{Le} = \frac{\alpha}{D_{AB}} = 1 \Rightarrow \rho D_{AB} = \frac{k_s}{C_{pg}}$$

$$\frac{d}{dr} \left[\rho v_r r^2 C_{pg} T - r^2 k_s \frac{dT}{dr} \right] = 0$$



7

$$\frac{d}{dr} \left[\frac{4\pi r^2 \rho v_r}{4\pi} C_{pg} T - r^2 k_s \frac{dT}{dr} \right] = 0$$

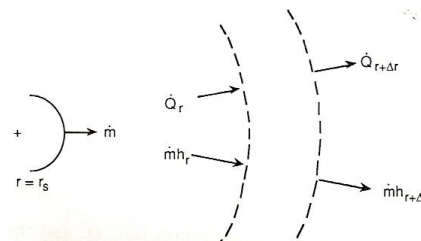
$$4\pi r^2 \rho v_r = \dot{m}_F$$

$$\frac{\dot{m}_F C_{pg}}{4\pi} \frac{dT}{dr} - k_s \frac{d}{dr} \left(r^2 \frac{dT}{dr} \right) = 0$$

$$\frac{d}{dr} \left(r^2 \frac{dT}{dr} \right) = \frac{\dot{m}_F C_{pg}}{4\pi k_s} \frac{dT}{dr}$$

$$\frac{d}{dr} \left(r^2 \frac{dT}{dr} \right) = Z \dot{m}_F \frac{dT}{dr}$$

avec $Z = \frac{C_{pg}}{4\pi k_s}$



8

$$\frac{d}{dr} \left(r^2 \frac{dT}{dr} \right) = Z\dot{m}_v \frac{dT}{dr} \quad \begin{cases} r^2 \frac{dT}{dr} = Z\dot{m}_v T + C_1 \\ \frac{1}{Z\dot{m}_v} \cdot \frac{d(Z\dot{m}_v T)}{dr} = \frac{dr}{r^2} \end{cases}$$

$$\frac{1}{Z\dot{m}_v} \ln(Z\dot{m}_v T + C_1) = -\frac{1}{r} + C_2$$

Deux conditions limites :

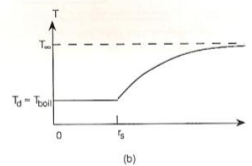
$$\begin{cases} 1) r \rightarrow \infty & T = T_\infty \\ 2) r = r_s & T = T_E \end{cases}$$

$$\begin{cases} C_1 = \frac{Z\dot{m}_v \left[T_\infty \exp\left(-\frac{Z\dot{m}_v}{r_s}\right) - T_E \right]}{1 - \exp\left(-\frac{Z\dot{m}_v}{r_s}\right)} \\ C_2 = \frac{1}{Z\dot{m}_v} \ln \left[\frac{Z\dot{m}_v (T_\infty - T_E)}{1 - \exp\left(-\frac{Z\dot{m}_v}{r_s}\right)} \right] \end{cases}$$

9

Distribution de la température en phase gazeuse

$$T(r) = \frac{(T_\infty - T_E) \exp\left(-\frac{Z\dot{m}_v}{r}\right) - T_\infty \exp\left(-\frac{Z\dot{m}_v}{r_s}\right) + T_E}{1 - \exp\left(-\frac{Z\dot{m}_v}{r_s}\right)}$$



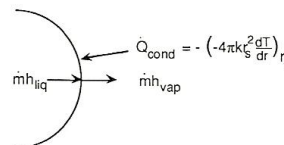
Bilan d'énergie à la surface de gouttelette (chaleur latente spécifique de vaporisation)

$$\dot{Q}_{\text{cond}} = \dot{Q}_{\text{li-1}} + \dot{m}_v (h_{\text{vap}} - h_{\text{liq}}) \Rightarrow \dot{Q}_{\text{cond}} = \dot{m}_v (q_{\text{li-1}} + L_v) \quad q_{\text{li-1}} = \frac{\dot{Q}_{\text{li-1}}}{\dot{m}_v} = C_{\text{pi}} (T_s - T_0)$$

$$\dot{Q}_{\text{cond}} = - \left(-4\pi r_s^2 k_g \frac{dT}{dr} \right) \Big|_{r=r_s} \quad (\text{loi de Fourier})$$

$$4\pi r_s^2 k_g \frac{dT}{dr} \Big|_{r=r_s} = \dot{m}_v (L_v + q_{\text{li-1}})$$

$$\frac{dT}{dr} \Big|_{r=r_s} = \frac{Z\dot{m}_v}{r_s^2} \left[\frac{(T_\infty - T_E) \exp\left(-\frac{Z\dot{m}_v}{r_s}\right)}{1 - \exp\left(-\frac{Z\dot{m}_v}{r_s}\right)} \right]$$



10

Vitesse d'évaporation massique

$$\begin{cases} \dot{m}_v = \frac{4\pi k_g r_s}{C_{pg}} \ln \left[\frac{C_{pg}(T_\infty - T_s)}{L_v + C_{pl}(T_s - T_0)} + 1 \right] \\ B_T = \frac{C_{pg}(T_\infty - T_s)}{L_v + C_{pl}(T_s - T_0)} \end{cases} \Rightarrow \dot{m}_v = \frac{4\pi k_g r_s}{C_{pg}} \ln(B_T + 1) \quad (\text{kg/s})$$

Nombre de transfert de masse rapporté au transfert de chaleur

dans un milieu chaud ($T_\infty \gg T_E$) $\Rightarrow (T_s \approx T_E)$ température d'ébullition

11

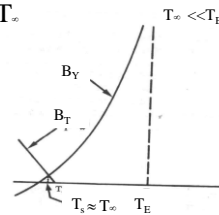
Nombre de transfert de masse (T_s inconnue)

1) Force motrice en absence de la combustion

Concentration des espèces : $T_\infty \ll T_E \Rightarrow T_s \approx T_\infty$

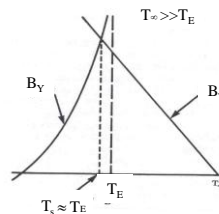
$$B_Y = \frac{Y_{F,\infty} - Y_{F,s}}{Y_{F,s} - 1}$$

$$Y_{F,s} = \frac{X_{F,s} MW_F}{X_{F,s} MW_F + (1 - X_{F,s}) MW_A}$$



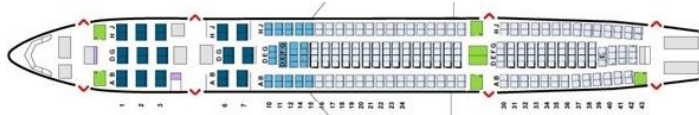
Transfert de chaleur : $T_\infty \gg T_E \Rightarrow T_s \approx T_E$

$$B_T = \frac{C_{pg}(T_\infty - T_s)}{L_v + C_{pl}(T_s - T_0)}$$



12

Application - Estimation de l'humidité d'air dans un milieu clos (une cabine)



Concentration des espèces :
$$B_y = \frac{Y_{A,\infty} - Y_{A,s}}{Y_{A,s} - 1}$$

Transfert de chaleur :
$$B_T = \frac{C_{pg}(T_\infty - T_s)}{L_v + C_{pl}(T_s - T_0)}$$

$$\left. \begin{array}{l} B_y = B_T \\ T_s - T_0 \approx 0 \end{array} \right\} \Rightarrow Y_{A,\infty} = Y_{A,s} + (Y_{A,s} - 1) \frac{C_{pg}(T_\infty - T_s)}{L_v}$$

$$X_{A,s} = \exp \left[- \frac{L_v MW_L}{R_s} \left(\frac{1}{T_s} - \frac{1}{T_\infty} \right) \right]$$

13

Temps de vie des gouttes (évolution du diamètre des gouttes, D)

(Vitesse de disparition de la gouttelette correspond à la vitesse de vaporisation)

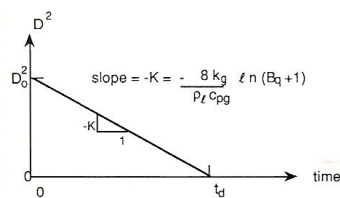
$$\left\{ \begin{array}{l} \frac{dm_a}{dt} = -\dot{m}_v \\ m_a = \rho_l V = \rho_l \frac{1}{6} \pi D^3 \end{array} \right. \Rightarrow \frac{dD}{dt} = - \frac{4k_g}{\rho_l C_{pg} D} \ln(B_T + 1)$$

$$\left\{ \begin{array}{l} \frac{dD^2}{dt} = - \frac{8k_g}{\rho_l C_{pg}} \ln(B_T + 1) \\ K = \frac{8k_g}{\rho_l C_{pg}} \ln(B_T + 1) \end{array} \right. \Rightarrow \frac{dD^2}{dt} = -K \quad (\text{constante d'évaporation})$$

$$\int_{D_0^2}^{D^2} dD^2 = - \int_0^t K dt$$

$$D^2(t) = D_0^2 - Kt$$

$$D^2(t) \rightarrow 0 \Rightarrow t_d = D_0^2 / K$$



14

Temps de vie des gouttes : $t_d = D_0^2 / K$

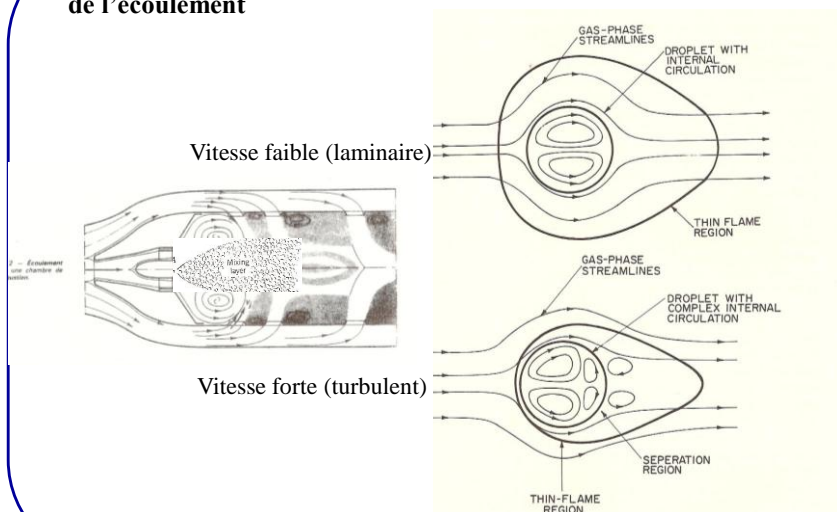
Constante d'évaporation : $K = \frac{8k_g}{\rho_l C_{pg}} \ln(B_r + 1)$

Approximations

$$\begin{cases} C_{pg} = C_{pf}(\bar{T}) \text{ (chaleur spécifique de fuel)} \\ k_g = 0.4k_f(\bar{T}) + 0.6k_a(\bar{T}) \text{ (conductivité de fuel + gaz environnant)} \\ \bar{T} = \frac{T_b + T_o}{2} \text{ (température moyenne)} \end{cases}$$

15

Structure de flamme autour d'une goutte en fonction du régime de l'écoulement



16

Evaporation des gouttes en présence de réactions chimiques

Modèle simplifié de combustion d'une gouttelette

- 10 hypothèses
- 1) Flamme sphérique, milieu au repos, pas d'interaction entre les gouttelette

2) Stationnaire

3) Combustible pur

4) Pression uniforme et constante

5) Combustible (F), oxydant (Ox) et produits (P)

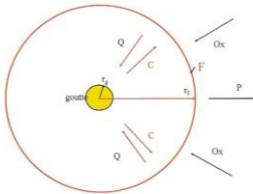
6) Réaction chimique infiniment rapide et flamme mince

7) Lewis, $Le = \frac{\alpha(\text{diffusivité thermique})}{D_{AB}(\text{diffusivité massique})} = k / \rho C_p D_{AB} = 1$

8) Transfert radiatif négligeable

9) $k, C_p, \rho D_{AB} = \text{constant}$

10) Le combustible liquide est la seule phase condensée (pas de suies ni d'eau condensée)



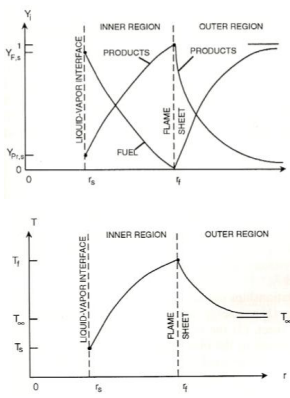
Position du problème $\left\{ \begin{array}{l} D_0(\text{diamètre initial}), T_\infty, Y_{Ox,\infty} \quad (\text{connus}) \\ \dot{m}_F, r_l, T_l, T_s, Y_{F,s} \quad (\text{inconnus}) \end{array} \right.$

17

On doit disposer d'autant d'équations que d'inconnues

$$\left\{ \begin{array}{l} \dot{m}_F \\ r_l \\ T_l \\ T_s \\ Y_{F,s} \end{array} \right. \Rightarrow D^2(t), Y_{i(-F,O,P)}$$

- 1) Profil de combustible dans la région intérieure
- 2) Distribution d'oxydant à l'extérieur de la flamme
- 3) Bilan d'énergie à la surface de la gouttelette
- 4) Bilan d'énergie à la flamme
- 5) Condition d'équilibre liquide-vapeur à l'interface
(expression de Clausius-Claperton)



18

1) Profil de combustible dans la région intérieure

Conservation de la masse

$$\dot{m}(r) = \dot{m}_p = \text{constante}$$

Conservation du combustible entre la flamme et la gouttelette (loi de Fick)

$$\dot{m}_A = (\dot{m}_A + \dot{m}_B) Y_A - \rho D_{AB} \nabla Y_A$$

$$\begin{cases} \dot{m}_A = \dot{m}_F = \dot{m}_p / 4\pi r^2 \\ \dot{m}_B = \dot{m}_p = 0 \end{cases}$$

$$\nabla = \frac{d}{dr} \text{ (symétrie sphérique)}$$

$$\dot{m}_F = -4\pi r^2 \frac{\rho D_{AB}}{1 - Y_F} \frac{dY_F}{dr} \Rightarrow \frac{dr}{r^2} = \frac{4\pi \rho D_{AB}}{\dot{m}_F} \frac{d(1 - Y_F)}{1 - Y_F}$$

$$Y_F(r) = 1 + C_1 \exp\left(-Z_F \frac{\dot{m}_p}{r}\right) \quad Z_F = \frac{1}{4\pi \rho D_{AB}}$$

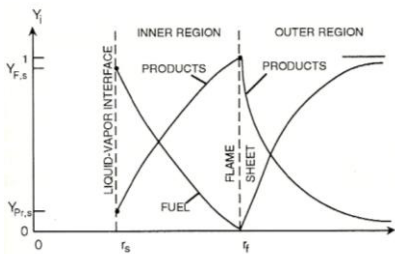
19

$$Y_F(r) = 1 + C_1 \exp\left(-Z_F \frac{\dot{m}_p}{r}\right)$$

En appliquant 2 conditions aux limites

$$1) \quad r=r_s, Y_F = Y_{F,s}(T_s) \Rightarrow Y_F(r) = 1 - \frac{(1 - Y_{F,s}) \exp\left(-Z_F \frac{\dot{m}_p}{r_s}\right)}{\exp\left(-Z_F \frac{\dot{m}_p}{r_s}\right)}$$

$$2) \quad r=r_f, Y_F = 0 \Rightarrow Y_{F,s} = 1 - \frac{\exp\left(-Z_F \frac{\dot{m}_p}{r_s}\right)}{\exp\left(-Z_F \frac{\dot{m}_p}{r_f}\right)}$$



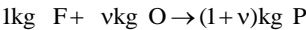
$$Y_p(r) = 1 - Y_F(r)$$

$$3 \text{ inconnues } \begin{cases} \dot{m}_p \\ r_f \\ Y_{F,s} \end{cases}$$

20

2) Distribution d'oxydant à l'extérieur de la flamme

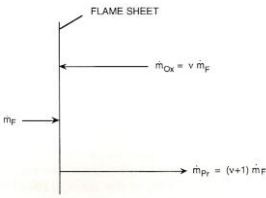
Flamme se produit instantanément au mélange F/O stoechiométrique



Conservation de la masse (loi de Fick)

$$\dot{m}_A = (\dot{m}_A + \dot{m}_B)Y_A - \rho D_{AB} \frac{dY_A}{dr}$$

$$\begin{cases} \dot{m}_A = \dot{m}_O = -v \dot{m}_F \\ \dot{m}_B = \dot{m}_P = (1+v) \dot{m}_F \end{cases}$$



$$\dot{m}_F = 4\pi r^2 \frac{\rho D_{AB}}{v + Y_O} \frac{dY_O}{dr} \Rightarrow \frac{dr}{r^2} = \frac{4\pi \rho D_{AB}}{\dot{m}_F} \frac{d(v + Y_O)}{v + Y_O}$$

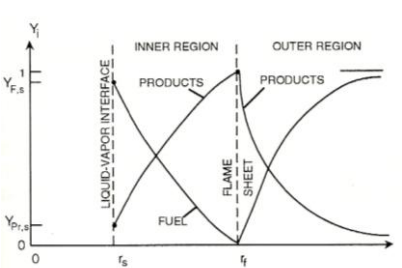
$$Y_O(r) = -v + C_e \exp\left(-Z_e \dot{m}_F / r\right) \qquad Z_e = \frac{1}{4\pi \rho D_{AB}}$$

21

$$Y_O(r) = -v + C_e \exp\left(-Z_e \dot{m}_F / r\right) \qquad \text{En appliquant 2 conditions aux limites}$$

1) $r=r_f, Y_O=0 \Rightarrow Y_O(r) = v \left[\frac{\exp\left(-Z_e \dot{m}_F / r\right)}{\exp\left(-Z_e \dot{m}_F / r_f\right)} - 1 \right]$

2) $r=\infty, Y_O=1 \Rightarrow \exp\left(Z_e \dot{m}_F / r_f\right) = \frac{1+v}{v}$



$$Y_P(r) = 1 - Y_O(r)$$

2 inconnues $\begin{cases} \dot{m}_F \\ r_f \end{cases}$

22

3) Bilan d'énergie à la surface de la gouttelette

(zone interne, $r_s \leq r \leq r_i$)

$$\dot{Q}_{g-i} = \dot{Q}_{i-1} + \dot{m}_F (h_{vap} - h_{liq}) \Rightarrow \dot{Q}_{g-i} = \dot{m}_F (q_{i-1} + L_v)$$

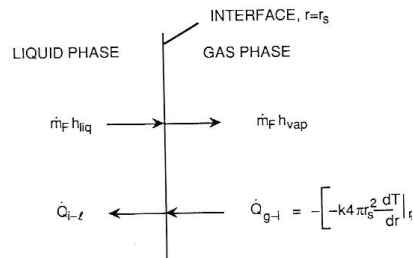
Transfert de chaleur à l'interface (Loi de Fourier) : $\dot{Q}_{g-i} = - \left[-4\pi r_s^2 k_s \frac{dT}{dr} \right]_{r_s}$

Transfert de chaleur dans le liquide (inertie thermique - modèle à deux zones)

$$\dot{Q}_{i-1} = \dot{m}_F C_{pl} (T_s - T_0)$$

$$q_{i-1} = \frac{\dot{Q}_{i-1}}{\dot{m}_F} = C_{pl} (T_s - T_0)$$

$$4\pi r_s^2 k_s \left. \frac{dT}{dr} \right|_{r_s} = \dot{m}_F (L_v + q_{i-1})$$



23

Conservation d'énergie (1D sphérique, Shvab-Zeldovich)

$$\frac{1}{r^2} \frac{d}{dr} \left[r^2 \left(\rho v_r \int C_p dT - \rho D_{AB} \frac{d \int C_p dT}{dr} \right) \right] = - \sum h_{f,i}^0 \dot{m}_i$$

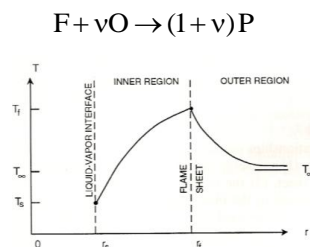
$$- \sum h_{f,i}^0 \dot{m}_i = 0 \quad (\text{en dehors de la surface de réactions chimiques})$$

$$\frac{d}{dr} \left(r^2 \frac{dT}{dr} \right) = \frac{\dot{m}_F C_{pF}}{4\pi k_s} \frac{dT}{dr}$$

$$\frac{d}{dr} \left(r^2 \frac{dT}{dr} \right) = Z_T \dot{m}_F \frac{dT}{dr}$$

$$\begin{cases} Z_T = \frac{C_{pF}}{4\pi k_s} \\ Z_F = \frac{1}{4\pi \rho D_{AB}} \end{cases}$$

$$\text{Le} = 1 \Rightarrow \rho D_{AB} = \frac{k_s}{C_{pF}} \Rightarrow Z_T = Z_F$$



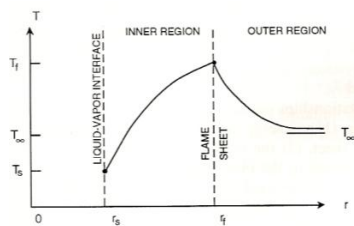
24

Solution générale sur la distribution des températures

$$T(r) = \frac{C_1 \exp\left(-Z_r \dot{m}_f / r\right)}{Z_r \dot{m}_f} + C_2$$

Zone interne ($r_s \leq r \leq r_f$) 2 conditions aux limites $\begin{cases} r=r_s, T=T_s \\ r=r_f, T=T_f \end{cases}$

$$T(r) = \frac{(T_s - T_f) \exp\left(-Z_r \dot{m}_f / r\right) + T_f \exp\left(-Z_r \dot{m}_f / r_s\right) - T_s \exp\left(-Z_r \dot{m}_f / r_f\right)}{\exp\left(-Z_r \dot{m}_f / r_s\right) - \exp\left(-Z_r \dot{m}_f / r_f\right)}$$



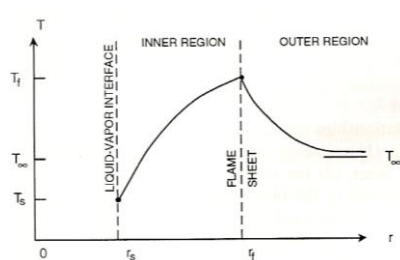
25

Solution générale: $T(r) = \frac{C_1 \exp\left(-Z_r \dot{m}_f / r\right)}{Z_r \dot{m}_f} + C_2$

Zone externe ($r_f \leq r < \infty$)

2 conditions aux limites $\begin{cases} r=r_f, T=T_f \\ r=\infty, T=T_\infty \end{cases}$

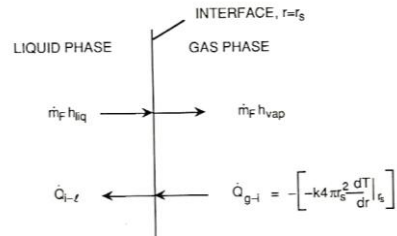
$$T(r) = \frac{(T_f - T_\infty) \exp\left(-Z_r \dot{m}_f / r\right) + T_\infty \exp\left(-Z_r \dot{m}_f / r_f\right) - T_f}{\exp\left(-Z_r \dot{m}_f / r_f\right) - 1}$$



26

Bilan d'énergie à la surface de la gouttelette (zone interne, $r_s \leq r \leq r_i$)

$$4\pi r_s^2 k_g \left. \frac{dT}{dr} \right|_{r_s} = \dot{m}_F (L_v + q_{i-1})$$



$$\left\{ \begin{aligned} T(r) &= \frac{(T_s - T_i) \exp\left(-Z_r \dot{m}_F / r\right) + T_i \exp\left(-Z_r \dot{m}_F / r_s\right) - T_s \exp\left(-Z_r \dot{m}_F / r_i\right)}{\exp\left(-Z_r \dot{m}_F / r_s\right) - \exp\left(-Z_r \dot{m}_F / r_i\right)} \\ \left. \frac{dT}{dr} \right|_{r_s} &= \frac{(T_s - T_i) Z_r \dot{m}_F \exp\left(-Z_r \dot{m}_F / r_s\right)}{r_s^2 \left[\exp\left(-Z_r \dot{m}_F / r_s\right) - \exp\left(-Z_r \dot{m}_F / r_i\right) \right]} \end{aligned} \right.$$

27

Après quelques substitutions et mises en forme

$$\frac{C_{pg}(T_f - T_s)}{(q_{i-1} + L_v)} \frac{\exp\left(-Z_r \dot{m}_F / r_s\right)}{\exp\left(-Z_r \dot{m}_F / r_s\right) - \exp\left(-Z_r \dot{m}_F / r_i\right)} + 1 = 0$$

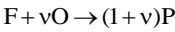
$$4 \text{ inconnues } \left\{ \begin{array}{l} \dot{m}_F \\ T_f \\ T_s \\ r_i \end{array} \right.$$

28

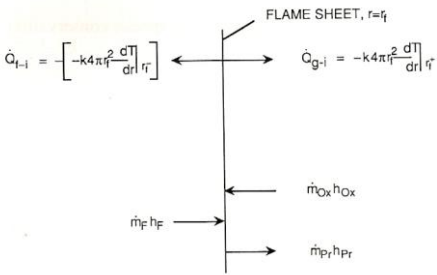
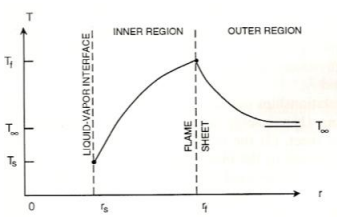
4) Bilan d'énergie à la flamme

$$\dot{m}_F h_F + \dot{m}_O h_O - \dot{m}_P h_P = \dot{Q}_{f-i} + \dot{Q}_{f-\infty}$$

$$\begin{cases} h_F = h_{f,F}^0 + C_{pg}(T_f - T_{ref}) \\ h_O = h_{f,O}^0 + C_{pg}(T_f - T_{ref}) \\ h_P = h_{f,P}^0 + C_{pg}(T_f - T_{ref}) \end{cases}$$



$$\begin{cases} \dot{m}_O = \nu \dot{m}_F \\ \dot{m}_P = (1 + \nu) \dot{m}_F \end{cases}$$



29

A la surface de la flamme, il y a donc

$$\dot{m}_F [h_{f,F}^0 + \nu h_{f,O}^0 - (1 + \nu) h_{f,P}^0] + \dot{m}_F C_{pg} [(T_f - T_{ref}) + \nu(T_f - T_{ref}) - (1 + \nu)(T_f - T_{ref})] = \dot{Q}_{f-i} + \dot{Q}_{f-\infty}$$

Chaleur de combustion par unité de masse de combustible (PCI ou PCS)

$$\Delta h_c(T_{ref}) = h_{f,P}^0 + \nu h_{f,O}^0 - (1 + \nu) h_{f,F}^0$$

$$\dot{m}_F \Delta h_c = \dot{Q}_{f-i} + \dot{Q}_{f-\infty}$$

Vitesse de transformation
de l'énergie chimique

Vitesse de transport de la chaleur

30

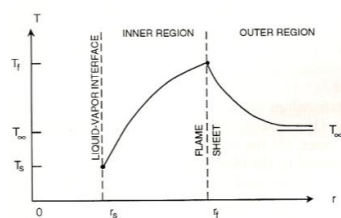
Bilan d'énergie à la flamme : $\dot{m}_F \Delta h_c = \dot{Q}_{f-i} + \dot{Q}_{f-\infty}$

$$r=r_f^- \quad \dot{Q}_{f-i} = 4\pi r_f^2 k_s \left. \frac{dT}{dr} \right|_{r_f^-}$$

$$T(r) = \frac{(T_i - T_f) \exp\left(-Z_f \dot{m}_F / r\right) + T_f \exp\left(-Z_f \dot{m}_F / r_s\right) - T_s \exp\left(-Z_f \dot{m}_F / r_f\right)}{\exp\left(-Z_f \dot{m}_F / r_s\right) - \exp\left(-Z_f \dot{m}_F / r_f\right)}$$

$$\frac{dT}{dr} = \frac{(T_i - T_f) Z_f \dot{m}_F \exp\left(-Z_f \dot{m}_F / r\right)}{r^2 \left[\exp\left(-Z_f \dot{m}_F / r_s\right) - \exp\left(-Z_f \dot{m}_F / r_f\right) \right]}$$

$$Z_f = \frac{C_{ps}}{4\pi k_s}$$



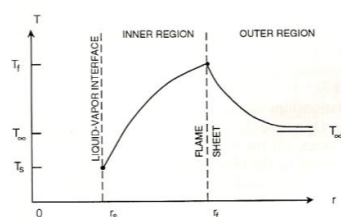
31

Bilan d'énergie à la flamme : $\dot{m}_F \Delta h_c = \dot{Q}_{f-i} + \dot{Q}_{f-\infty}$

$$r=r_f^+ \quad \dot{Q}_{f-\infty} = -4\pi r_f^2 k_s \left. \frac{dT}{dr} \right|_{r_f^+}$$

$$T(r) = \frac{(T_i - T_\infty) \exp\left(-Z_f \dot{m}_F / r\right) + T_\infty \exp\left(-Z_f \dot{m}_F / r_f\right) - T_f}{\exp\left(-Z_f \dot{m}_F / r_f\right) - 1}$$

$$\frac{dT}{dr} = \frac{Z_f \dot{m}_F (T_\infty - T_f) \exp\left(-Z_f \dot{m}_F / r\right)}{r^2 \left[1 - \exp\left(-Z_f \dot{m}_F / r_f\right) \right]}$$



32

Après quelques substitutions et mises en forme

$$\frac{C_{pg}}{\Delta h_c} \left[\frac{(T_s - T_i) \exp\left(-Z_i \dot{m}_v / r_i\right)}{\exp\left(-Z_i \dot{m}_v / r_s\right) - \exp\left(-Z_i \dot{m}_v / r_i\right)} - \frac{(T_s - T_i) \exp\left(-Z_i \dot{m}_v / r_i\right)}{\left[1 - \exp\left(-Z_i \dot{m}_v / r_i\right)\right]} \right] - 1 = 0$$

$$4 \text{ inconnues } \begin{cases} \dot{m}_v \\ r_i \\ T_i \\ T_s \end{cases}$$

33

5) Condition d'équilibre liquide-vapeur à l'interface

(expression de Clausius-Claperon)

$$\begin{cases} Y_{F,s} = \frac{X_{F,s} MW_F}{X_{F,s} MW_F + (1 - X_{F,s}) MW_P} \\ X_{F,s} = \frac{P_{F,s}}{P} \\ P_{F,s} = A \exp(-B/T_s) \end{cases}$$

$$Y_{F,s} = \frac{A \exp(-B/T_s) MW_F}{A \exp(-B/T_s) MW_F + [P - A \exp(-B/T_s)] MW_P}$$

$$2 \text{ inconnues } \begin{cases} Y_{F,s} \\ T_s \end{cases}$$

34

Equation 1. Conservation du combustible
entre la flamme et la gouttelette

$$\begin{cases} \dot{m}_F \\ r_f \\ Y_{F,s} \end{cases}$$

Equation 2. Conservation de l'oxydant
à l'extérieur de la flamme

$$\begin{cases} \dot{m}_F \\ r_f \end{cases}$$

Equation 3. Bilan d'énergie à la surface
de la gouttelette

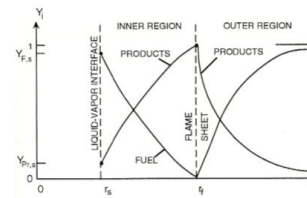
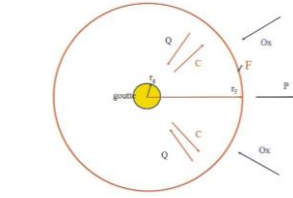
$$\begin{cases} \dot{m}_F \\ T_f \\ T_s \\ r_f \end{cases}$$

Equation 4. Bilan d'énergie à la flamme

$$\begin{cases} \dot{m}_F \\ r_f \\ T_f \\ T_s \end{cases}$$

Equation 5. Equilibre liquide-vapeur et
relation de Clausius-Clapeyron

$$\begin{cases} Y_{F,s} \\ T_s \end{cases}$$



35

Equation 1

$$Y_{F,s} = 1 - \frac{\exp\left(-Z_r \dot{m}_F / r_s\right)}{\exp\left(-Z_r \dot{m}_F / r_f\right)}$$

Equation 2

$$\exp\left(-Z_r \dot{m}_F / r_f\right) = \frac{1 + v}{v}$$

Equation 3

$$\frac{C_{pF}(T_f - T_s)}{(q_{r-1} + L_v)} \frac{\exp\left(-Z_r \dot{m}_F / r_f\right)}{\exp\left(-Z_r \dot{m}_F / r_s\right) - \exp\left(-Z_r \dot{m}_F / r_f\right)} + 1 = 0$$

Equation 4

$$\frac{C_{pF}}{\Delta h_c} \left[\frac{(T_s - T_f) \exp\left(-Z_r \dot{m}_F / r_f\right)}{\exp\left(-Z_r \dot{m}_F / r_s\right) - \exp\left(-Z_r \dot{m}_F / r_f\right)} - \frac{(T_\infty - T_f) \exp\left(-Z_r \dot{m}_F / r_f\right)}{\left[1 - \exp\left(-Z_r \dot{m}_F / r_f\right)\right]} \right] - 1 = 0$$

Equation 5

$$Y_{F,s} = \frac{A \exp(-B/T_s) MW_F}{A \exp(-B/T_s) MW_F + [P - A \exp(-B/T_s)] MW_P}$$

36

Equation 2 $\exp\left(-Z_r \dot{m}_r / r_i\right) = \frac{1 + v}{v}$

Equation 3 $\frac{C_{pg}(T_i - T_s)}{(q_{i-1} + L_v)} \frac{\exp\left(-Z_r \dot{m}_r / r_i\right)}{\exp\left(-Z_r \dot{m}_r / r_s\right) - \exp\left(-Z_r \dot{m}_r / r_i\right)} + 1 = 0$

Equation 4 $\frac{C_{pg}}{\Delta h_c} \left[\frac{(T_s - T_i) \exp\left(-Z_r \dot{m}_r / r_i\right)}{\exp\left(-Z_r \dot{m}_r / r_s\right) - \exp\left(-Z_r \dot{m}_r / r_i\right)} - \frac{(T_\infty - T_i) \exp\left(-Z_r \dot{m}_r / r_i\right)}{\left[1 - \exp\left(-Z_r \dot{m}_r / r_i\right)\right]} \right] - 1 = 0$

En supposant que T_s est connue, on trouve \dot{m}_r , r_i et T_i

37

Solution du problème

Vitesse de combustion des gouttelettes (T_s connue)

$$\dot{m}_r = \frac{4\pi k_g r_i}{C_{pg}} \ln \left[1 + \frac{\Delta h_c / v + C_{pg}(T_\infty - T_i)}{q_{i-1} + L_v} \right]$$

Nombre de transfert de masse en combustion

$$B_c = \frac{\Delta h_c / v + C_{pg}(T_\infty - T_s)}{q_{i-1} + L_v}$$

$$\dot{m}_r = \frac{4\pi k_g r_i}{C_{pg}} \ln(1 + B_c)$$

38

Solution du problème (nombre de transfert de masse, B_c ?)

$$1) \text{ Vitesse de la combustion} \quad \dot{m}_v = \frac{4\pi k_s r_s}{C_{pg}} \text{Ln}(1 + B_c)$$

$$2) \text{ Température de la flamme} \quad T_f = \frac{q_{f-1} + L_v}{C_{pg}(1 + v)} (vB_c - 1) + T_s$$

$$3) \text{ Rayon de la flamme} \quad r_f = r_s \frac{\text{Ln}(1 + B_c)}{\text{Ln}[(1 + v)/v]}$$

$$4) \text{ Fraction massique du combustible} \quad Y_{F,s} = \frac{B_c - 1/v}{B_c + 1}$$

$$5) \text{ Température surfacique des gouttelettes} \quad T_s = \frac{-B_c}{\text{Ln} \left[\frac{-Y_{F,s} P \text{MW}_P}{A(Y_{F,s} \text{MW}_F - Y_{F,s} \text{MW}_P - \text{MW}_F)} \right]}$$

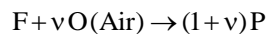
39

Nombre de transfert de mass rapporté à la concentration des espèces

$$\rho D_F \frac{d}{dr} r^2 \frac{dY_F}{dr} - [\dot{m} r^2] \frac{dY_F}{dr} + r^2 \dot{m}_F = 0$$

$$\rho D_{Ox} \frac{d}{dr} r^2 \frac{dY_O}{dr} - [\dot{m} r^2] \frac{dY_O}{dr} + r^2 \dot{m}_O = 0$$

Réaction chimique infiniment rapide



$$\dot{m}_O = v \dot{m}_F \quad D_F = D_{Ox}$$

$$\phi = \frac{Y_F - Y_O/v}{Y_{F,s} - Y_{F,0}}$$

$$\rho D_F \frac{d}{dr} r^2 \frac{d\phi}{dr} - [\dot{m} r^2] \frac{d\phi}{dr} = 0 \quad \Rightarrow \quad \rho D_F r^2 \frac{d\phi}{dr} - [\dot{m} r^2] \phi = C_1$$

40

Conditions aux limites

$$\dot{m}_{F,s} Y_{F,0} = \dot{m}_{F,s} Y_{F,s} - \rho D_F \left. \frac{dY_F}{dr} \right|_s \quad (\text{Loi de Fick})$$

$$\dot{m}_{F,s} = \rho D_F \left. \frac{d}{dr} \left(\frac{Y_F}{Y_{F,s} - Y_{F,0}} \right) \right|_s = \rho D_F \left. \frac{d\phi}{dr} \right|_s \quad (Y_o=0 \text{ à la surface du liquide})$$

A la surface de goutte, $r=r_s$

$$C_1 = \rho D_F r_s^2 \left. \frac{d\phi}{dr} \right|_s - [\dot{m}_{F,s} r_s^2] \phi_s = [\dot{m}_{F,s} r_s^2] (1 - \phi_s)$$

$$\rho D_F r_s^2 \left. \frac{d\phi}{dr} \right|_s - [\dot{m}_{F,s} r_s^2] (\phi_s - \phi_s + 1) = 0$$

41

$$\frac{d\phi}{(\phi - \phi_s + 1)} = \frac{[\dot{m}_{F,s} r_s^2] dr}{\rho D_F r^2}$$

$$\ln(\phi - \phi_s + 1) = - \frac{[\dot{m}_{F,s} r_s^2] 1}{\rho D_F r} + C_2$$

Conditions aux limites : $r \rightarrow \infty$

$$C_2 = \ln(\phi_\infty - \phi_s + 1)$$

$$\ln\left(\frac{\phi - \phi_s + 1}{\phi_\infty - \phi_s + 1}\right) = \frac{[\dot{m}_{F,s} r_s^2] 1}{\rho D_F r}$$

A la surface de goutte, $r=r_s \Rightarrow \phi = \phi_s$

$$\dot{m}_{F,s} = \frac{\rho D_F}{r_s} \ln(\phi_\infty - \phi_s + 1) = \frac{\rho D_F}{r_s} \ln(B_D + 1)$$

$$B_D = (\phi_\infty - \phi_s) = \frac{1/v + Y_{F,s}}{Y_{F,0} - Y_{F,s}}$$

42

Force motrice en présence de la combustion (B)

Nombre de transfert de mass rapporté à la combustion

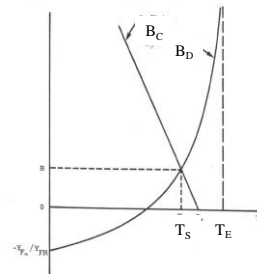
$$B_c = \frac{\Delta h_c / \nu + C_{pg}(T_\infty - T_s)}{L_\nu + C_{pl}(T_s - T_0)}$$

Nombre de transfert de mass rapporté à la concentration des espèces

$$B_D = \frac{1/\nu + Y_{F,s}}{Y_{F,0} - Y_{F,s}}$$

$$X_{F,s} = \frac{P_{\text{sat}}(T_{\text{liq},s})}{P} = \exp \left[-\frac{L_\nu MW_F}{R_u} \left(\frac{1}{T_s} - \frac{1}{T_E} \right) \right]$$

$$Y_{F,s} = X_{F,s} \frac{MW_F}{MW_{\text{mil}}}$$



43

Solution unique du problème simplifié en présence de la combustion

Fraction massique de combustible : $Y_{F,s} = 1$

Température surfacique des gouttelettes : $T_s = T_E \Rightarrow B_c = \text{Cst.}$

1) Vitesse de la combustion $\dot{m}_v = \frac{4\pi k_s r_s}{C_{pg}} \ln(1 + B_c)$

2) Température de la flamme $T_f = \frac{q_{\text{li}} + L_\nu}{C_{pg}(1 + \nu)} (\nu B_c - 1) + T_s$

3) Rayon de la flamme $r_f = r_s \frac{\ln(1 + B_c)}{\ln[(1 + \nu)/\nu]}$

44

Temps de vie des gouttelettes : $t_{tot} = t_{pré} + t_{évap}$

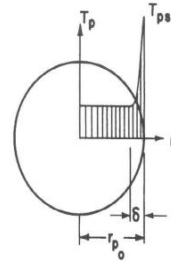
Modèle transitoire : $\dot{Q}_{i-1} = m_d C_{pl} \frac{dT_i}{dt}$ ou $q_{i-1} = \frac{m_d C_{pl}}{\dot{m}_f} \frac{dT_i}{dt}$

$$\begin{cases} m_d C_{pl} \frac{dT_i}{dt} = hS(T_g - T_i) \\ m_i = 1/6 \pi D_0^3 \rho_l \\ S = \pi D_0^2 \end{cases}$$

Intégration ($t=0, T_i=T_0, t=t_{pré}, T_i=T_s$)

Temps de préchauffage des gouttes : $t_{pré} \approx \frac{\rho_l C_{pl} D_0}{6h} \ln\left(\frac{T_g - T_0}{T_g - T_s}\right)$

$$Nu = \frac{hD_0}{k_s} = 2 \quad \Rightarrow \quad t_{pré} \approx \left[\frac{\rho_l C_{pl}}{12k_g} \ln\left(\frac{T_g - T_0}{T_g - T_s}\right) \right] D_0^2$$



45

Temps d'évaporation des gouttelettes en présence de la combustion

$$\begin{cases} \frac{dm_d}{dt} = -\dot{m} \\ m_d = \rho_l V = \rho_l \frac{1}{6} \pi D^3 \end{cases} \Rightarrow \frac{dD}{dt} = -\frac{4k_g}{\rho_l C_{pg} D} \ln(B_K + 1) \Rightarrow \frac{dD^2}{dt} = -K$$

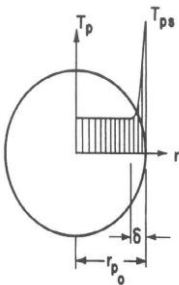
$$K = \frac{8k_g}{\rho_l C_{pg}} \ln(B_K + 1) \quad (\text{constante d'évaporation})$$

$$B_K = \frac{\Delta h_v / v + C_{pg}(T_\infty - T_s)}{L_v} \quad (T_0 \rightarrow T_s, q_{i-1} = 0)$$

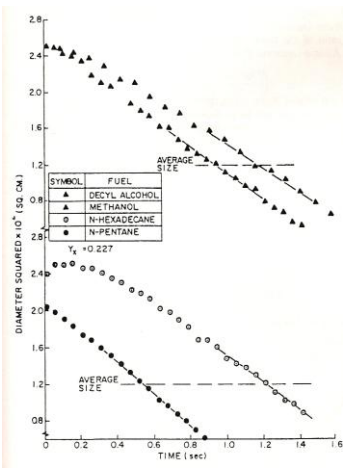
$$\begin{aligned} D^2(t) &= D_0^2 - Kt \\ D^2(t) &\rightarrow 0 \quad \Rightarrow \quad t_{évap} = D_0^2 / K \end{aligned} \quad \begin{cases} C_{pg} = C_{pf}(\bar{T}) \\ k_g = 0.4k_r(\bar{T}) + 0.6k_\infty(\bar{T}) \\ \bar{T} = \frac{T_s + T_f}{2} \\ \rho_l = \rho_l(T_s) \end{cases}$$

46

$$t_{\text{tot}} = t_{\text{evap}} + t_{\text{pré}} \approx \frac{D_0^2}{K} + \left[\frac{\rho C_{p1}}{12k_g} \ln \left(\frac{T_g - T_0}{T_g - T_s} \right) \right] D_0^2$$

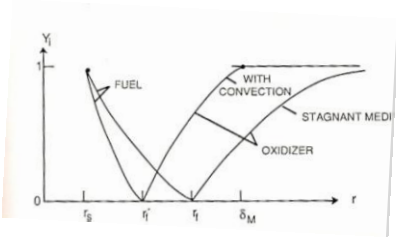
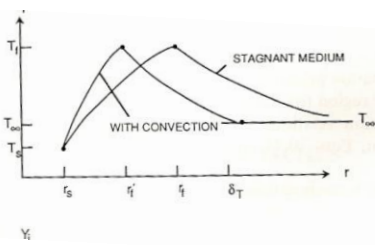
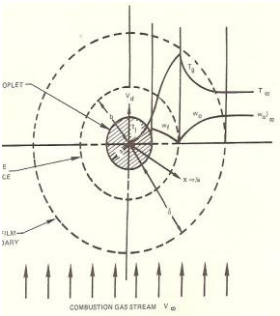
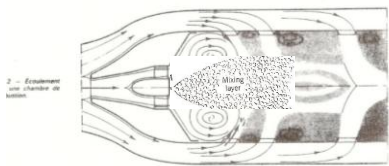


Temps de vie des gouttelettes
pour les différents combustibles



47

Cas des environnements convectifs (Modèle du film)



48

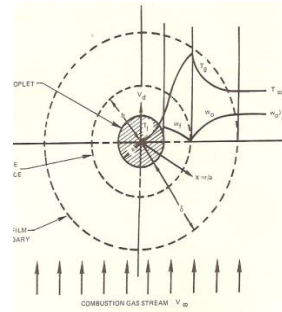
$$\begin{cases} \frac{\delta_r}{r_s} = \frac{\text{Nu (nombre de Nusselt)}}{\text{Nu} - 2} \\ \frac{\delta_M}{r_s} = \frac{\text{Sh (nombre de Sherwood)}}{\text{Sh} - 2} \end{cases}$$

$$\begin{cases} \text{Nu} = 2 + 0.6 \text{Re}^{1/2} \text{Pr}^{1/3} \\ \text{Sh} = 2 + 0.6 \text{Re}^{1/2} \text{Sc}^{1/3} \\ \text{Re} = \frac{\rho |u_a - u_i| 2r_d}{\mu_g} = \frac{|u_a - u_i| 2r_d}{v_g} \end{cases}$$

Vitesse du gaz

$$\rho_g = \frac{P}{(R_u / \text{MW}_g) T_f}$$

$$u_g = \frac{\dot{m}_g}{\rho_g A} = \frac{\dot{m}_f + \dot{m}_{A,p}}{\rho_g A} \Rightarrow u_g = \frac{(\dot{m}_f + \dot{m}_{A,p}) R_u T_f}{(\text{MW}_g P A)}$$



Cas du milieu au repos

$$\begin{cases} \text{Nu} = 2 \\ \text{Le} = 1 \quad (\text{Pr} = \text{Sc}) \\ \delta_r = \delta_M \rightarrow \infty \end{cases}$$

49

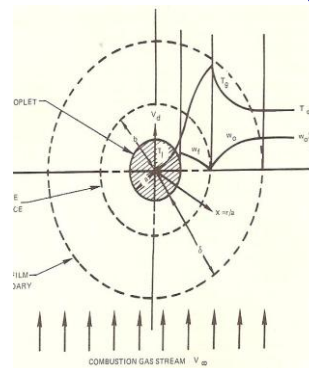
Modèle du film à l'extérieur de la flamme

1) Distribution d'oxydant

$$Y_o(r) = v \left[\frac{\exp\left(-Z_r \dot{m}_f / r_f\right)}{\exp\left(-Z_r \dot{m}_f / r_f\right)} - 1 \right]$$

$$r = \delta_m, \quad Y_o = 1$$

$$\frac{\exp\left(-Z_r \dot{m}_f / r_f\right)}{\exp\left(-Z_r \dot{m}_f / r_f\right)} = \frac{1 + v}{v}$$



2) Bilan d'énergie à la surface de la gouttelette

$$\frac{C_{p8} (T_f - T_i)}{(q_{i-1} + L_v)} \frac{\exp\left(-Z_r \dot{m}_f / r_f\right)}{\exp\left(-Z_r \dot{m}_f / r_f\right) - \exp\left(-Z_r \dot{m}_f / r_f\right)} + 1 = 0$$

50

3) Conservation d'énergie (1D sphérique, Shvab-Zeldovich)

$$\frac{d}{dr} \left(r^2 \frac{dT}{dr} \right) = Z_r \dot{m}_r \frac{dT}{dr}$$

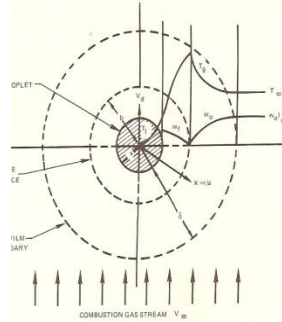
Solution générale sur la distribution des températures

$$T(r) = \frac{C_1 \exp\left(-Z_r \dot{m}_r / r\right)}{Z_r \dot{m}_r} + C_2$$

Bilan d'énergie à la flamme : $\dot{m}_r \Delta h_c = \dot{Q}_{r-i} + \dot{Q}_{r-\infty}$

$$r = r_i \begin{cases} T(r_i) = T_i \\ T(r_i) = T_i \end{cases} \quad \dot{Q}_{r-i} = 4\pi r_i^2 k_s \left. \frac{dT}{dr} \right|_{r_i}$$

$$T(r) = \frac{(T_i - T_\infty) \exp\left(-Z_r \dot{m}_r / r\right) + T_\infty \exp\left(-Z_r \dot{m}_r / r_i\right) - T_i \exp\left(-Z_r \dot{m}_r / r_i\right)}{\exp\left(-Z_r \dot{m}_r / r_i\right) - \exp\left(-Z_r \dot{m}_r / r\right)}$$



51

$$r = r_i \begin{cases} T(r_i) = T_i \\ T(\delta_i) = T_\infty \end{cases} \quad \dot{Q}_{r-\infty} = 4\pi r_i^2 k_s \left. \frac{dT}{dr} \right|_{r_i}$$

$$T(r) = \frac{(T_\infty - T_i) \exp\left(-Z_r \dot{m}_r / r\right) + T_\infty \exp\left(-Z_r \dot{m}_r / r_i\right) - T_i \exp\left(-Z_r \dot{m}_r (Nu - 2) / r_i Nu\right)}{\exp\left(-Z_r \dot{m}_r / r_i\right) - \exp\left(-Z_r \dot{m}_r (Nu - 2) / r_i Nu\right)}$$

$$\frac{C_{PB}}{\Delta h_c} \left[\frac{(T_i - T_\infty) \exp\left(-Z_r \dot{m}_r / r\right)}{\exp\left(-Z_r \dot{m}_r / r_i\right) - \exp\left(-Z_r \dot{m}_r / r_s\right)} - \frac{(T_i - T_\infty) \exp\left(-Z_r \dot{m}_r / r_i\right)}{\left[\exp\left(-Z_r \dot{m}_r / r_i\right) - \exp\left(-Z_r \dot{m}_r (Nu - 2) / r_i Nu\right) \right]} \right] = 1$$

52

$$1) \frac{\exp\left(-Z_r \dot{m}_F / [r_i \text{Nu} / (\text{Nu} - 2)]\right)}{\exp\left(-Z_r \dot{m}_F / r_i\right)} = \frac{1 + \nu}{\nu}$$

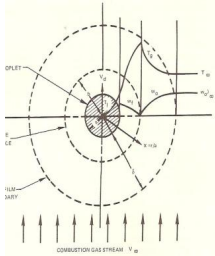
$$2) \frac{C_{pg}(T_f - T_s)}{(q_{-1} + L_v)} \frac{\exp\left(-Z_r \dot{m}_F / r_i\right)}{\exp\left(-Z_r \dot{m}_F / r_i\right) - \exp\left(-Z_r \dot{m}_F / r_i\right)} + 1 = 0$$

$$3) \frac{C_{pg}}{\Delta h_c} \left[\frac{(T_f - T_s) \exp\left(-Z_r \dot{m}_F / r_i\right)}{\exp\left(-Z_r \dot{m}_F / r_i\right) - \exp\left(-Z_r \dot{m}_F / r_i\right)} - \frac{(T_f - T_s) \exp\left(-Z_r \dot{m}_F / r_i\right)}{\left[\exp\left(-Z_r \dot{m}_F / r_i\right) - \exp\left(-Z_r \dot{m}_F (\text{Nu} - 2) / r_i \text{Nu}\right)\right]} \right] = 1$$

$T_s = T_E \Rightarrow m_F, r_i \text{ et } T_f$

Vitesse de combustion avec des environnements convectifs

$$\dot{m}_{F, \text{conv}} = \frac{2\pi k_g r_s}{C_{pg}} \text{Nu} \ln(1 + B_c) \quad (\text{kg/s})$$

$$\dot{m}_{F, \text{conv}} = \frac{\text{Nu}}{2} \dot{m}_F$$


53

Temps de vie des gouttelettes avec des environnements convectifs

$$\begin{cases} \frac{dm_d}{dt} = -\dot{m}_{F, \text{conv}} \\ m_d = \rho_l V = \rho_l \frac{1}{6} \pi D^3 \end{cases} \Rightarrow \frac{dD}{dt} = -\frac{2k_g}{\rho_l C_{pg} D} \text{Nu} \ln(B_K + 1) \Rightarrow \frac{dD^2}{dt} = -K_{\text{conv}}$$

$$K_{\text{conv}} = \frac{4k_g}{\rho_l C_{pg}} \text{Nu} \ln(B_K + 1)$$

$$B_K = \frac{\Delta h_c / \nu + C_{pg}(T_\infty - T_s)}{L_v} \quad (T_0 \rightarrow T_s, q_{-1} = 0)$$

$$\text{Temps d'évaporation des gouttelettes : } t_{\text{évap, conv}} = D_0^2 / K_{\text{conv}} = \frac{t_{\text{évap}}}{\text{Nu} / 2}$$

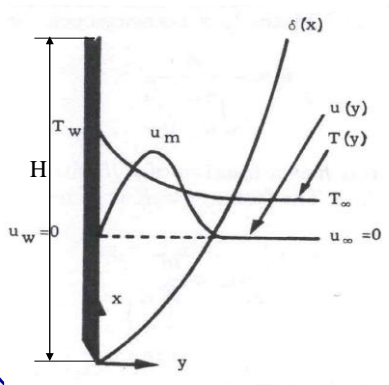
$$t_{\text{tot, conv}} = t_{\text{évap, conv}} + t_{\text{pré}} \approx \frac{D_0^2}{K_{\text{conv}}} + \left[\frac{\rho_l C_{pl}}{12k_g} \ln\left(\frac{T_g - T_0}{T_g - T_s}\right) \right] D_0^2$$

54

Extension à l'évaporation d'un film du combustible liquide

a) Paroi verticale avec une dimension caractéristique, L

$$\dot{m}_v \text{ (kg / m}^2 \text{ s)} = \frac{k_g}{C_{pg} L} \text{Nu} \ln(1+B) = \frac{\rho D_{AB}}{L} \text{Nu} \ln(1+B) \quad (\alpha = D_{AB})$$



$$\text{Gr} = \frac{g H^3 \beta \Delta T}{\nu_g^2}$$

En régime laminaire ($\text{Gr} < 10^9$)

$$\text{Nu} = 0.59 (\text{Gr Pr})^{1/4}$$

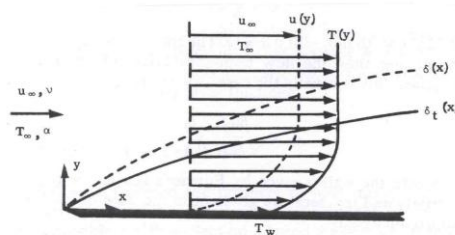
En régime turbulent ($\text{Gr} > 10^9$)

$$\text{Nu} = 0.13 (\text{Gr Pr})^{1/3}$$

55

b) Paroi horizontale avec une dimension caractéristique L
en présence d'un écoulement avec une vitesse, U

$$\dot{m}_v = \frac{k_g}{C_{pg} L} \text{Nu} \ln(1+B) = \frac{\rho D_{AB}}{L} \text{Nu} \ln(1+B) \quad (\alpha = D_{AB})$$



$$\text{Re} \equiv \frac{UL}{\nu_g}$$

En régime laminaire ($\text{Re} < 3 \times 10^5$)

$$\text{Nu} = 0.664 \text{Re}^{1/2} \text{Pr}^{1/3}$$

En régime turbulent ($\text{Re} > 3 \times 10^5$)

$$\text{Nu} = 0.037 \text{Re}^{4/5} \text{Pr}^{1/3}$$

56